

# Planer SCR에 依한 正弦波 發振器

(Sinusoidal Oscillator Using Planer SCR)

朴炳哲\*

(Bark, Byong Cheol)

## 要 約

SCR에서도 anode 전류가 微小(約數 10mA~數100mA 以內)할 때에는 게이트 電壓을 調整하므로써 anode 電流를 調節할 수 있다.

이를 利用하여 cathode 回路에 適當値의 抵抗을 插入하여 게이트 回路에 負性抵抗特性을 나타내게 할 수 있고 簡單한 正弦波 發振回路를 만들었다.

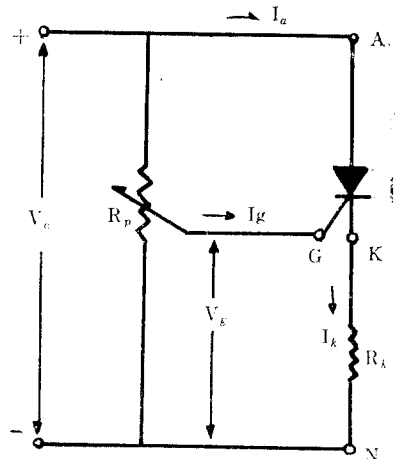
## Abstract

It is indicated that in SCR the anode current can be controlled by adjusting the gate voltage when the magnitude of anode current lies in the range of  $10^{-2}$  to  $10^{-3}$  Amperes. This fact is applied to make a simple sinusoidal oscillator circuit which has the negative resistance characteristics in its gate circuit by inserting a proper resistor into its cathode circuit.

## 1. 序論

SCR은 gate에 電壓을 印加하므로써 anode 電流를 調節하는 데 使用되며, 一旦 anode 電流를 調節한 후에는 anode 電流를 gate에 依해서 变化할 능력이 없다. 여기서는 SCR의 이러한 switching의 目的과는 다른 目的에 活用코자 하는 것으로써 gate에 微小(數 100mA 以內)할 때에는 gate 電壓을 調節하므로써 anode 電流가 制御됨을 알게 되었다.<sup>1)</sup>

그림 1에서와 같이 SCR의 cathode K點과 N點사이에 抵抗  $R_k$ 를 插入하고 anode 電流電壓을 一定値로 하여 A-N間に Potentiometer  $R_p$ ( $\infty \sim 0$ )이 Potentiometer의 抵抗値는 各回路에 插入한 抵抗値와 比較하여 아우디오 値이거나, 또는 Potentiometer 代身  $V_a$ 와  $V_g$ 는 別個의 電源을 使用한 수도 있다)를 插入, 可變部에 gate電壓이 전압으로 하였다. 이 때 gate 回路의  $V_a - I_g$  特性曲線은 그림 2 및 그림 3과 같이 負性抵抗領域이 나타나는 特性曲線이 일어진다.<sup>2),3),5),6)</sup>



\* 正會員, 成均館大學校 工理大學, 電子工學科  
Dept. of Electronics Engineering, Sung Kyun Kwan Univ.  
接受日字: 1974年 4月 30日

그림 1 本解析에 使用한 負性抵抗回路  
Fig. 1 Negative Resistance Circuit used in this Analysis.

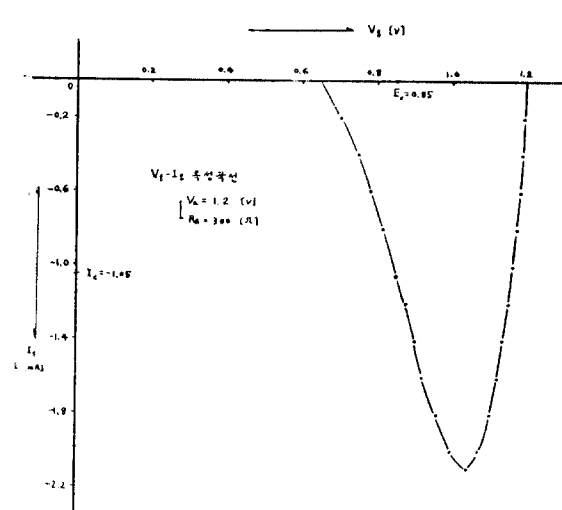


그림 2 SCR의 gate 특성곡선  
Fig. 2 Characteristic Curve of SCR.

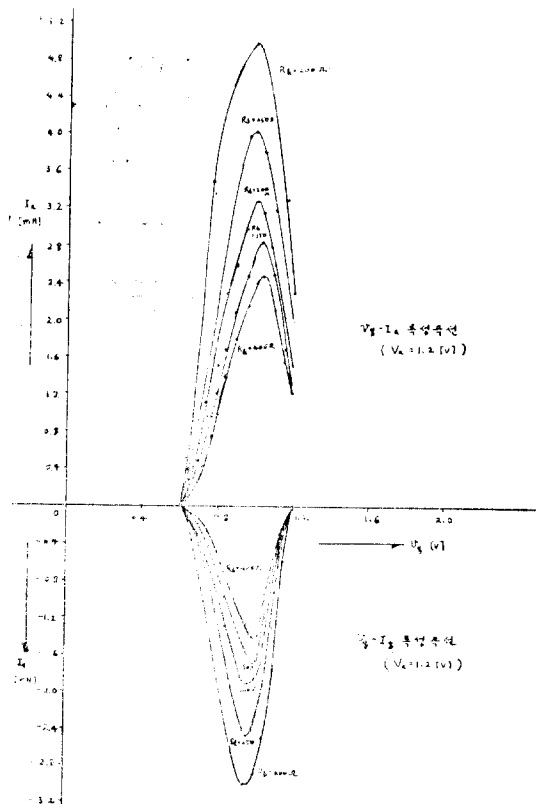


그림 3 SCR의  $V_g - I_a$  및  $V_g - I_g$  특성곡선  
Fig. 3  $V_g - I_a$  and  $V_g - I_g$  Characteristic Curves of SCR.

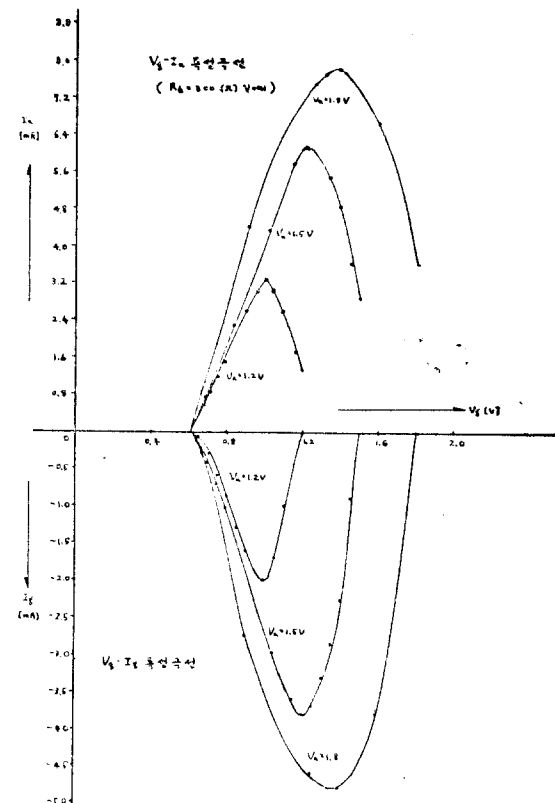


그림 4 SCR의  $V_g - I_a$  및  $V_g - I_g$  특성곡선  
Fig. 4  $V_g - I_a$  and  $V_g - I_g$  Characteristic Curves of SCR.

이때 A-N間의 anode 電壓  $V_a$ 를 높이면, 負性抵抗領域도 넓어지나, 그에 따르는 負性電流量도增加하여 全般的의 曲線의 狀態는 大體로 類似한 曲線(그림3 및 그림4)이 되나, 그림4에서와 같이  $V_a$ 를 너무 높이면 负性抵抗領域의  $V-I$ 值가不安해진다.

또 K-N間에 插入하는 抵抗  $R_g$ 의 크기에 따라 负性抵抗領域에 시의 任意의 點에 시의 gate 電壓은 安定值가 되기도하고, 不安定한 値를 짓이기 되므로  $R_g$ 의 値의 선택을充分히 考慮해야 한다. 따라서 gate回路에 L-C回路을 插入하고 그에 簡單한 發振回路를 平行시킨다. 이때 gate電壓의 크기는 極化시키므로써 正弦波가 되기도하고, 非正弦波가 되기도한다. 여기에 使用된 SCR은 CV12이다.

## 2. 貟性抵抗特性의 解析

위에서와 같이 케이트回路에 貟性抵抗回路과 平行될 수 있음을 알 수 있으나 定量的의 動作狀態는 알 수 없다. 이를 定量的으로 取扱코자 다음과 같은 簡單한 近似式을 使用하여 表示해 보기로 한다. 近似式으로는 三次式을 使用하였다.<sup>5)</sup>

于先  $I_g = f_1(v_g)_{va=const}$   
 $= av_g^3 + bv_g^2 + cv_g + d \quad [\text{mA}] \quad (1)$

로 표시하기로 하고, 각  $a, b, c$ , 및  $d$ 의 값을 구하기로 하는데, 끝이 같은 조건을實驗曲線(그림 2)에서

$$\left. \begin{array}{l} v_g = 0.65[\text{V}] \text{에서 } I_g = 0 \\ v_g = 1.2 [\text{V}] \text{에서 } I_g = 0 \\ v_g = 1.05 [\text{V}] \text{에서 } I_g = -2.1 [\text{mA}] (\text{최소점}) \end{array} \right\} \quad (2)$$

이므로,

$$\left. \begin{array}{l} I_g = f_2(v_g)_{va=const} \\ = v_g^3 + b'v_g^2 + c'v_g + d' \quad [\text{mA}] \end{array} \right\} \quad (3)$$

로하여  $b', c'$  및  $d'$ 의 값을 구하면

$$\left. \begin{array}{l} b' = -2.6627272727 \\ c' = 2.28422727267 \\ d' = -0.63474545452 \end{array} \right\} \quad (4)$$

가 되었고, 또 实驗曲線에서의  $I_g$ 의 값을 [mA]로 取했으므로, 따라서 (1)式의 단위는 [mA]로 한다.

$dI_g/dv_g = 0$ 인 點에서의 값을 (3)式 및 (4)式에 代入한 式에서 구하면, 그 點에서의  $I_g$ 의 값을

$$I_g|_{v_g=1.05} = -0.01433863637 \quad (5)$$

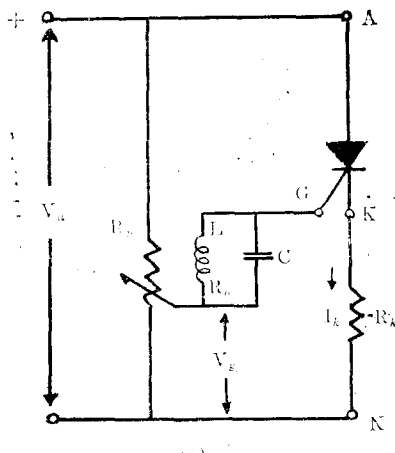
이 되었다. 实驗曲線에서의  $I_g|_{v_g=1.05}$ 의 값은 約(-2, 1mA)이므로, (-2, 1)이 되도록 倍數를 곱하면 (2倍數가 바로  $a$ 의 값이 된다).

$$\left. \begin{array}{l} a = 146.4574413784 \\ b = -389.9762234481 \\ c = 334.5420818717 \\ d = -92.9631951926 \end{array} \right\} \quad (6)$$

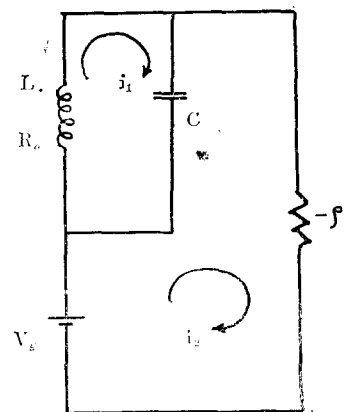
이 以外, 各小數點以下를 두자리에서 舊이 近似式으로 表示하면,

$$I_g = 146.5v_g^3 - 390v_g^2 + 334.5v_g - 93 \quad [\text{mA}] \quad (7)$$

과 같아 된다.



(a)



(b)

그림 5 SCR發振回路 및 等價回路

Fig. 5 SCR Oscillator and Equivalent circuit I of SCR Oscillator.

위의 式을 다시 負性抵抗值  $\rho$ 와 負性抵抗領域의 中位值가 되는  $v_g$  및  $I_g$ 의 값으로 각각  $E_c$  및  $I_c$ 로 表示하면

$$I_g = \frac{(v_g - E_c)}{\rho} \left\{ -1 + \frac{(v_g - E_c)^2}{3K^2} \right\} + I_c \quad [\text{mA}] \quad (8)$$

$$\left. \begin{array}{l} \rho: [\text{k}\Omega] \\ K: \text{const} \end{array} \right\}$$

이 때  $K$ 의 값은 위式의 各值가 定해지면 定해지는 定數이다.

### 3. 發振回路

#### a) 正弦波發振回路

그림 5-a는 gate回路에 L-C tank回路를 插入한 基本의인 發振回路이다. 이 때  $R_k$ 의 값을適當히 取하므로써  $I_g$ 는 그림 2에서와 같이 安定한 負性電流領域에 있게되어 振動을 하게된다. 그림 5-b는 그 等價回路이다. 이 때  $-\rho$ 는 gate回路의 구성에서 불때의 等價負性抵抗이다. 이 等價回路에서 각각의 loop에 流하는 電流를  $i_1, i_2$ 라하면, 다음과 같은 式이 얻어진다.

$$L \frac{di_1}{dt} + R_o i_1 + \frac{1}{C} \int_0^t (i_1 - i_2) dt + \frac{1}{C} q(0) = 0 \quad (9)$$

$$\frac{1}{C} \int_0^t (i_2 - i_1) dt - \rho i_2 - \frac{1}{C} q(0) = v_g \quad (10)$$

위의 2式을 각各 Laplace 變換을 하여 그때의 各의 값을  $I_1(s), I_2(s)$ 라 하고,  $I_2(s)$ 를 求하면,

$$I_2(s) = \frac{L\{q(0) + Cv_g\}s^2 + \{R_o q(0) + R_o Cv_g - Li(0)\}s + v_g}{-LC\rho s \left\{ s^2 + \left( \frac{R_o}{LC} - \frac{1}{C\rho} \right) s + \left( \frac{1}{LC} - \frac{R_o}{LC\rho} \right) \right\}} \quad (11)$$

가 되며, 이 回路가 持續振動을 하기 為한 條件은

$$\frac{R_o}{LC} - \frac{1}{C\rho} = 0 \quad (12)$$

가 되므로, 그때의 發振周波數  $f_0$ 는

$$f_0 = \frac{1}{2\pi} \sqrt{\frac{1}{LC} \left(1 - \frac{R_0}{\rho}\right) - \frac{1}{4C^2} \left(\frac{R_0}{L} - \frac{L}{\rho}\right)^2} \quad (13)$$

가 된다. 式에  $\frac{R_0}{L} = \frac{L}{\rho}$ 의 條件을 代入하면,

$$f_0 = \frac{1}{2\pi} \sqrt{\frac{1}{LC} \left(1 - \frac{R_0}{\rho}\right)} \quad (14)$$

또  $R_0 \ll \rho$ 의 뜻으로,

$$f_0 \approx \frac{1}{2\pi} \sqrt{\frac{1}{LC}} \quad (14)'$$

로 表示된다.<sup>4), 7)</sup>

### b) 非正弦波發振回路

위에서는 gate電壓을 負性領域의 中位點에 두었기 때문에 波形이 좋았으나, gate에서 cathode쪽으로 恒常DC電流가 흐르고 있기 때문에 効率面에서 좋은 것이라고 말할수 없다. 그래서 gate電壓을 더 낮추어 gate電流가零이 되는附近에 移動시켜 보면, 발진의 波形의 半 가사이가 負性領域을 벗어나기 때문에 그 波形은 正弦波에서 많이 벗어나 非正弦波로 變한다.

이 때의 等價回路에 흐르는 電流  $i$ 는  $t=0$ 일 때  $i(0)=0, q(0)=0$ 이라 놓으면,

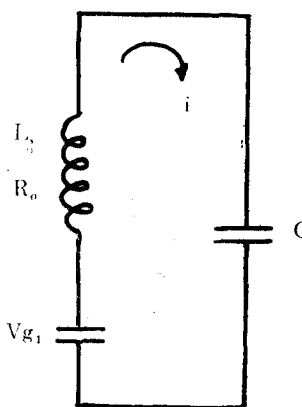


그림 6 等價回路 II

Fig. 7. Equivalent circuit II of SCR Oscillator

이 回路에서는  $\frac{1}{C} > \frac{R_o^2}{4L}$ 이므로, 이 시 Laplace變

接을 하여 求하면,

$$i = \frac{v_{g1}}{\omega L} e^{-\alpha t} \sin \omega t \quad (15)$$

$$\text{但 } \begin{cases} \omega = \sqrt{\frac{1}{LC} - \left(\frac{R_0}{2L}\right)^2} \\ \alpha = \frac{R_0}{2L} \end{cases}$$

또 이 때 Condenser  $C$ 의

$$q = \frac{-\alpha v_{g1}}{\omega L(\alpha^2 + \omega^2)} \left( \sin \omega t + \frac{\omega}{\alpha} \cos \omega t \right) + Cv_{g1} \quad (16)$$

인 電荷가 있게 되므로

$C$ 의 兩端의 電壓은

$$v_C = \frac{q}{C} \quad (17)$$

이므로

$$v_C = \frac{-\alpha v_{g1}}{\omega L(\alpha^2 + \omega^2)} \cdot \frac{1}{C} \cdot e^{-\alpha t} \left( \sin \omega t + \frac{\omega}{\alpha} \cos \omega t \right) + v_{g1} \\ = A \cdot e^{-\alpha t} \cdot \sin(\omega t - \theta) + v_{g1} \quad (18)$$

이는 off에서 on의 과도기에 나타나는 波形이고, 導通時의 동작상태는 等價回路III(그림 6)에서,  $i_2$ 를 求하면 된다.

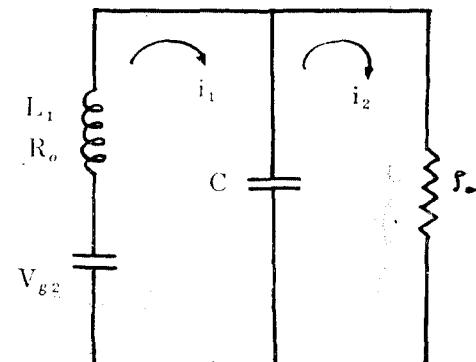


그림 7 等價回路III  
Fig. 8. Equivalent circuit III of SCR oscillator

$t=0$ 에서  $q=0, i_1(0)=0$ 이라 놓으면,

$$i_2 = \frac{v_{g2}}{R_o + \rho_0} + \frac{1}{LC\rho_0} \cdot \frac{v_{g2}}{(k_1 - k_2)} \cdot \left\{ \frac{1}{k_1} \cdot e^{k_1 t} - \frac{1}{k_2} \cdot e^{k_2 t} \right\} \quad (19)$$

만  $\rho_0$ 는 gate回路에서 보았을 때의 等價抵抗이 되며, 이 때의 波形은 그림(9)와 같다.

### 4. 考察

#### a) 負性抵抗特性

實驗典線과 近似式을 比較해 보면 각 다음과 같은 값을 알게 된다.

i)  $v_g=0.5[V]$ 에서의  $I_g$ 의 값은

{ 實驗值는 0[mA]

{ 近似式의 値는 -0.12[mA]

ii)  $v_g=1.05[V]$ 에서의  $I_g$ 의 값은

{ 實驗值는 -2.1[mA]

{ 近似式의 値는 -2.16[mA]

iii)  $v_g=1.2[V]$ 에서  $I_g$ 의 값은

{ 實驗值는 0 [mA]

{ 近似式의 値는 -0.48[mA]

iv) 負性抵抗值  $\rho$  ( $E_c=0.85V$ ,  $I_c=-1.05mA$ ).

{ 實驗值는 100[ $\Omega$ ]

{ 近似式에서는 95.2[ $\Omega$ ]

와 같이되어 이는 大體로 滿足할만한 値임을 알수 있

다.

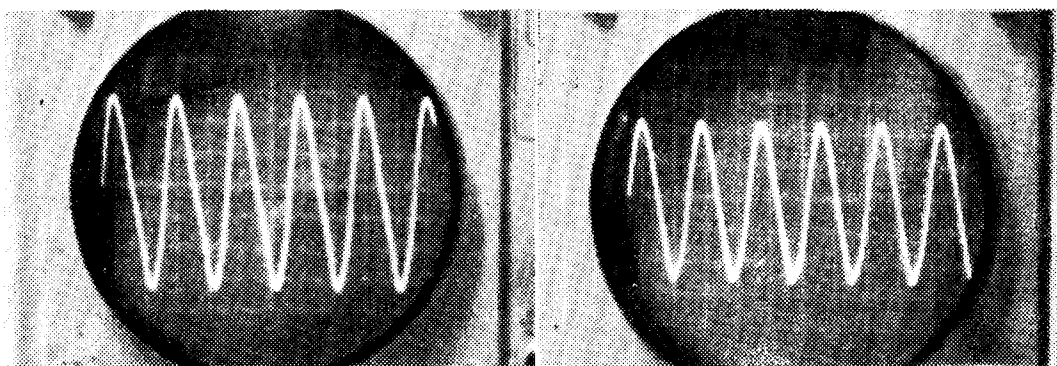
b) 發振回路

i) 正弦波回路

그림 6—a의 구성 요소인  $L, C$ 의 値을 각각  $L=35 \times 10^{-3}[H]$ ,  $C=2 \times 10^{-6}[F]$ 로 해서 計算해보면  $f_0=602$  [Hz]가 되고, 實測值는 650[Hz]가 되어, 위의 結果가 만족스러운 結果임을 알수 있다. 이때의 實測波形은 寫眞(그림 8)에서 보여주는 것과 같다.

ii) 非正弦波回路

이때의 波形은 그림 9와같이 歪波가 되나 大體로 半波만을 나타내는 波形이 된다.

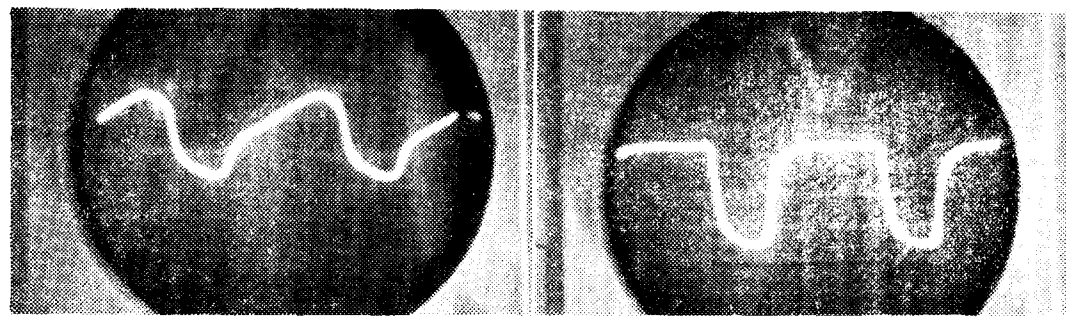


(a)

(b)

그림 8 {(a) SCR발진기의 出力波形( $R_k$ )  
(b) " " (coil)}

Fig. 8. {(a) Output( $R_k$ ) wave form of SCR oscillator  
(b) " (coil) " "



(a)

(b)

그림 9 {(a) SCR발진기의 出力波形( $R_k$ )  
(b) " " (coil)}

Fig. 9. {(a) Output( $R_k$ ) wave form of SCR oscillator  
(b) " (coil) " "

gate 回路에 負性抵抗回路을 구성할 수 있다.

## 5. 結論

i) Cathode 回路에 適當한 値의 抵抗을 插入하므로

ii) 이 負性抵抗特性을 定量化하여 近似式을 求めた.

iii) 이로 因하여 SCR을 利用한 簡單한 發振回路을  
구성하였다.

### 參 考 文 獻

1. T. Taniguchi, K. Set. and N. Ihara, Negative Resistance oscillator using GTO Thyristor" J.I.E.E.J. 90, 6, p. 1132
2. M. Takahara and T. Kasahara, An Analysis of Negative Resistance circuit using Junction Field-Effect Transistor, Tran. The IECE of Japan, Vol. 55-A, No. 6, p. 311 ('72)
3. S. Ostefjells, Negative Resistance circuit

using two complimentary Field-Effect Transistors, Proceeding of the IEEE, 53, 4, p. 404 ('65)

4. B.C. Bark, Negative Resistance oscillator using Planer SCR. Sung-Kyung-Kwan Univ. Journal. '72(Vol. XVII), p. 55
5. 志村正道, 非線形回路理論, 日本昭晃社版
6. 築地, 相川, SCR과 그應用, 日本日刊工業版
7. Ohms社論, 無線工學 Hand Book, 日本 Ohms 社版
8. General Electric Co, SCR manual, 日本 Ohm 社版